

東日本旅客鉄道株式会社 東京工事事務所 正会員 ○鷹野 秀明  
 東日本旅客鉄道株式会社 東京工事事務所 正会員 鎌田 則夫  
 東日本旅客鉄道株式会社 東京工事事務所 正会員 金子 達哉

### 1. はじめに

钢管内にコンクリートを充填した構造体は、钢管の大きな拘束力により耐力と变形性能が増大すると言われている。従来、ラーメン構造の柱までが鋼で、フーチング以下が鉄筋コンクリート（以下RCという）の構造体の接合方法は、アンカーフレームをフーチング中に埋め込みアンカーボルトで定着するアンカーフレーム方式が一般的であった。この方式は、アンカーフレームの製作や設置にコストがかかり不経済なものとなっている。そこで、これを解決するひとつの方法として、施工が容易な钢管にフーチングから鉄筋を出しコンクリートを詰めた钢管RC方式で接合した場合の耐力と变形性能の確認試験を行ったので報告する。

### 2. 試験概要

#### 2. 1 試験体形状及び諸元

試験体形状を図-1に、試験体諸元を表-1に示す。試験体寸法は、実構造物の1/2モデルにできるだけ近づくように決定した。钢管とコンクリートの付着力や軸力が、耐力及び变形性能に影響すると考え、ノーマルな钢管（シリーズA）・リブ付き钢管（钢管内にφ6mmの鉄筋を10cmピッチで溶接：シリーズB）・付着力なしの钢管（钢管内にグリースを塗り钢管とコンクリートの縁を切ったもの：シリーズC）の3タイプに分け、それぞれ軸力ありとなしで静的交番載荷試験を行った。

材料の種類は、钢管がSTK400でφ267.4×6.6、鉄筋がSD345でD19-28本（束ね鉄筋）とした。

#### 2. 2 載荷方法

試験体は、鉛直に設置し載荷することとし、フーチング部分をPC鋼棒で固定した。水平力の載荷位置はフーチングから1050mmの高さとし、鉄筋のひずみが降伏（2000マイクロ）に達するまで荷重制御により載荷を行った。その時の降伏荷重をP<sub>y</sub>とし、載荷点の水平変位を降伏変位δ<sub>y</sub>とする。それ以後はδ<sub>y</sub>の整数倍の変位を変位制御により3サイクルづつ行った。軸力は、钢管に8tf与え、鉄筋の定着長は計算から750mm（約40φ）とした。コンクリートは、かぶり50mmをみてフーチングから800mmとした。

### 3. 試験の結果及び考察

#### 3. 1 降伏時の鉄筋と钢管の応力分布

鉄筋と钢管の降伏時の応力分布を図-2に示す。応力度は、コンクリートのひずみゲージから求めた。接合部からの距離で引張り側450mm、圧縮側300mm付近において、

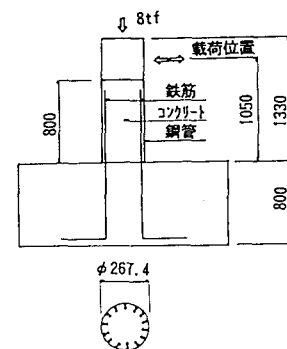
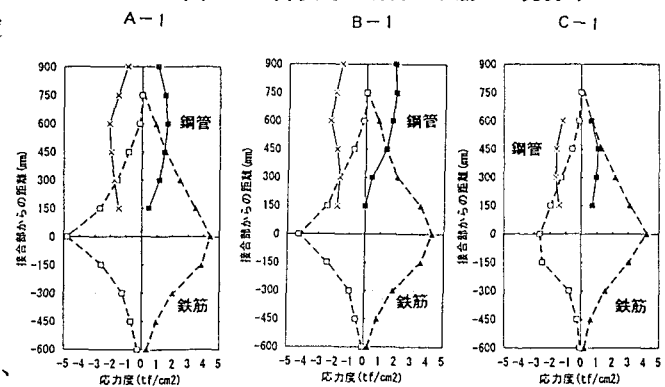


図-1 試験体形状

表-1 試験体諸元

シリーズ	試験体	钢管の種類	軸力	鉄筋		コンクリート
				降伏強度P <sub>SY</sub> (kgf/cm <sup>2</sup> )	引張強度P <sub>SU</sub> (kgf/cm <sup>2</sup> )	
A	A-1	普通	あり	3700	5270	3.6
	A-2	普通	なし			3.74
B	B-1	リブ付き	あり			2.86
	B-2	リブ付き	なし			3.47
C	C-1	付着力なし	あり			3.80
	C-2	付着力なし	なし			3.99

図-2 降伏時の钢管と鉄筋の応力分布



全試験体で鋼管と鉄筋の応力度が同等となった。これは軸力の有無に係わらず同じであった。鋼管の応力度が最大となるのは接合部からの距離でA-1が600mm、B-1が750mm、C-1が450mm付近となっている。鉄筋はどれも接合部で最大となっている。鋼管内に定着している鉄筋の引張り応力度は、ほぼ直線的に700mmで0に向かっている。

### 3.2 降伏とじん性の定義

試験結果を考察するために、降伏時の定義を明確にしなければならない。鋼管とフーチングとの接合部付近のひずみから平面保持の法則が成り立つとして、断面の1/4以上の鉄筋が降伏した時を試験体の降伏とする。その時の降伏荷重を $P_{y1}$ とし、降伏変位を $\delta_{y1}$ とする。

また、フーチングからの主鉄筋抜け出しによる回転変位 $\delta_{y2}$ を試験から得られた変位 $\delta_{y1}$ から差し引き試験体のみの変位 $\delta_{y0}$ を求め〔1〕耐力・じん性率の評価に使うものとする。

### 3.3 鋼管RCの降伏耐力及び終局耐力

降伏耐力及び終局耐力の実験値と計算値を表-2に示す。降伏耐力・終局耐力とも軸力を与えた方が高い値を示しており、計算値と近い値を示している。付着の違いによる降伏耐力・終局耐力の差は見られなかった。

### 3.4 鋼管RCのじん性率

荷重-変位曲線の包絡線を図-3に示す。じん性の評価は、降伏時変位を $\delta_{y1}$ 、降伏時荷重を $P_{y1}$ した時、荷重-変位曲線の包絡線が $P_{y1}$ を下回る時の変位を $\delta_{u1}$ として、 $\mu = \delta_{u1} / \delta_{y1}$ で行うものとした。荷重-変位曲線の包絡線のじん性率を $\mu$ 、考慮した後のじん性率を $\mu_0$ とすると、すべて5以上であり十分な変形性能を有している。軸力を与えた方は変位は小さくなつたが、じん性率、及び付着による差は見られなかった。

### 4.まとめ

鋼管とRC部材の接合部を鋼管RCとした構造の変形性能の評価は、降伏とする点の定義により大きく変わる。今回は、降伏を断面の1/4の鉄筋が降伏したとして考察を行ったが、変形性能があり、全体的に穏やかな包絡線を描いて急激な荷重降下もなかった。よって、この接合方式は、有効な接合方法であると言える。付着力の有無による違いは、応力分布に現れたが、耐力や変形性能には顕著な違いはみられなかった。

### [参考文献]

- 1) 石橋、吉野:鉄筋コンクリート橋脚の地震時変形能力に関する研究 土木学会論文集 390号 1982.2

表-2 鋼管RCの降伏耐力・終局耐力

シリーズ	試験体	降伏荷重 $P_{y1}$	降伏耐力 $M_y(tfm)$			最大荷重 $P_{max}$	終局耐力 $M_u(tfm)$		
			計算値 $M_{y1}$	実験値 $M_{y2}$	強度比 $M_{y2}/M_{y1}$		計算値 $M_{u1}$	実験値 $M_{u2}$	強度比 $M_{u2}/M_{u1}$
A	A-1	19.63	21.49	20.61	0.959	26.92	28.25	28.26	1.000
	A-2	16.70	21.07	17.54	0.834	25.96	28.41	27.28	0.960
B	B-1	20.52	20.88	21.54	1.032	27.99	26.57	29.40	1.106
	B-2	18.16	20.86	19.07	0.914	25.85	27.86	27.14	0.974
C	C-1	20.74	21.61	21.78	1.007	28.31	28.58	29.72	1.050
	C-2	17.62	21.23	18.50	0.871	26.44	28.82	27.76	0.963

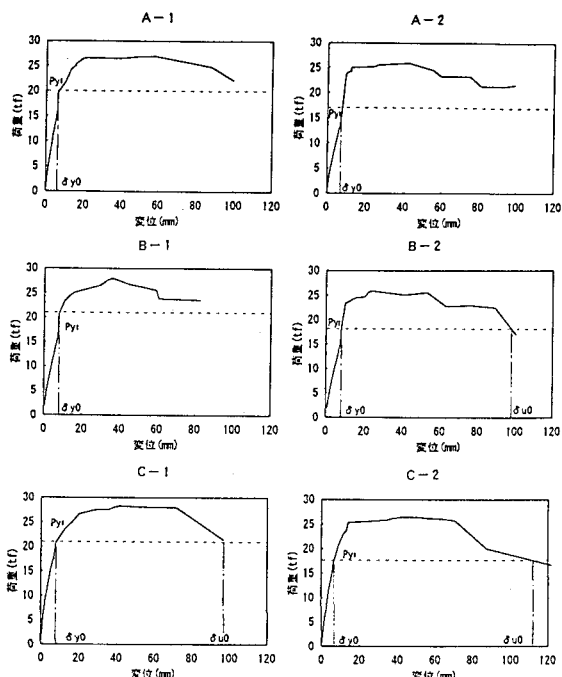


図-3 鋼管RCの荷重-変位曲線

表-3 鋼管RCのじん性率

試験体	降伏変位(mm)			終局変位(mm)			じん性率	
	$\delta_{y1}$	$\delta_{y0}$	$\delta_{y2}$	$\delta_{u1}$	$\delta_{u0}$	$\delta_{u2}$	$\mu$	$\mu_0$
A	A-1	15.32	6.21	9.11	115.17	99.50	15.67	† 7.36 † 16.02
	A-2	14.64	6.79	6.85	127.41	99.04	28.37	† 6.76 † 14.59
B	B-1	23.63	7.65	15.97	111.08	82.71	28.37	† 5.00 † 10.81
	B-2	15.77	8.11	7.66	126.17	98.17	28.14	8.00 12.10
C	C-1	14.14	7.88	6.25	103.09	88.82	14.27	7.29 11.27
	C-2	13.19	6.86	6.33	150.77	111.93	38.84	11.43 16.32

\* †は終局変位が計測範囲を超えたことを示す

\*  $\delta_{y1}$ ・ $\delta_{y0}$ ・ $\delta_{y2}$ はそれぞれ降伏時の変位、くび変位、回転変位を示す

†  $\delta_{u1}$ ・ $\delta_{u0}$ ・ $\delta_{u2}$ は終局時における同様のものを示す